

"METODOLOGIA PARA ESTIMAÇÃO  
DAS CONSTANTES ÓPTICAS E DA ESPESSURA DE UM FILME FINO UTILIZANDO MINIMIZAÇÃO IRRESTRITA".

Refere-se o presente relatório a uma metodologia para destinada a possibilitar a estim  
5    mação das constantes ópticas e da espessura de um filme fino, que caracteriza-se pelo fato de estar baseada na minimização irrestrita.

O problema de estimar a esp  
10    pessura e as constantes óticas de um filme fino utilizando só dados de transmissão é constitui uma tarefa muito desafiante do ponto de vista matemático e tem importância tecnológica e econômica. Em muitos casos um problema inverso muito mal condicionado com muitas soluções locais não-  
15    globais. Numa publicação recente foi proposto pelos titulares da presente patente, modelos de programação não linear para resolver este problema. Bem conhecidos softwares para minimização com restrições lineares foram utilizados com sucesso. Neste trabalho introduziu-se uma formulação irres-  
20    trita do modelo de programação não linear e resolvendo assim o problema de estimação utilizando um método baseado em chamadas sucessivas a um algoritmo de minimização irrestrita. Experimentos numéricos em filmes gerados no computador mostram que o novo procedimento é eficiente.

25                    O problema consiste em achar a espessura  $d$ , o índice de refração  $r(\lambda)$  e o coeficiente de atenuação  $k(\lambda)$  de um filme fino, utilizando só dados de transmissão. Emite-se luz com diferentes comprimentos de

onda  $\lambda_i$  e mede-se a luz transmitida  $T_i^{meas}$  do outro lado do filme. Com um conjunto razoável de medições  $(\lambda_i, T_i^{meas})$  tentou-se descobrir as constantes óticas acima mencionadas. A espessura dos filmes é um importante parâmetro de desenho e caracterização. A transmissão ótica fornece informação precisa no intervalo do espectro onde o material vai da opacidade completa a algum grau de transparência (M. BORN e E. WOLF 1980; e O.S.HEAVENS,1991).

Algumas soluções aproximadas têm sido encontradas em casos onde a transmissão mostra um padrão de interferência numa região altamente transparente do espectro ( J.C. MANIFACIER, J. GASLOT, e J.P. FILLARD 1976; R. SWANEPOEL 1983; e R. SWANEPOEL 1984).

Porém, até agora, a solução geral do problema não tem sido satisfatória porque o sistema de equações é altamente indeterminado.

Recentemente, foi reportado um método novo, baseado num enfoque de minimização "ponto a ponto" com restrições, que permite resolver o caso geral (I.CHAMBOULEYRON, J.M.MARTÍNEZ, A.C. MORETTI e M.MULATO 1988; e I.CHAMBOULEYRON, J.M.MARTÍNEZ, A.C. MORETTI e M.MULATO 1997).

O método define um problema de programação não-linear, cujas variáveis são os coeficientes a serem estimados, com restrições que representam conhecimentos prévios da solução física.

O novo método foi bem sucedido na recuperação de  $d$ ,  $r(\lambda)$  e  $k(\lambda)$  a partir de diferentes

espectros de transmissão de filmes artificiais e reais (I.CHAMBOULEYRON, J.M.MARTÍNEZ, A.C. MORETTI e M.MULATO 1988; e I.CHAMBOULEYRON, J.M.MARTÍNEZ, A.C. MORETTI e M.MULATO 1997).

5 A maior dificuldade do enfoque do problema de otimização ponto a ponto com restrições é que um problema de grande porte relativamente complexo de programação não-linear com restrições lineares cuja solução só pode ser obtida por meio de códigos sofisticados, e não  
10 sempre disponíveis, que trabalhem eficientemente com a esparsidade da matriz de restrições (B.A.MURTAGH e M.A.SAUNDERS 1977; e B.A.MURTAGH e A.SAUNDERS 1978).

Considerou-se o problema de estimar o coeficiente de atenuação, o índice de refração e  
15 a espessura do filme, utilizando só dados de transmissão. Dado o comprimento de onda  $\lambda$ , o índice de refração do substrato  $s$ , e as incógnitas  $d$  (espessura),  $r(\lambda)$  (índice de refração) e  $k(\lambda)$  (coeficiente de atenuação), a transmissão teórica é dada por uma fórmula conhecida (O.S.HEAVENS 1991;  
20 R.SWANEOEL 1983; e R.SWANEOEL 1984).

Tendo medidas da transmissão em (bastantes) comprimentos de onda diferentes, buscou-se estimar as incógnitas acima mencionadas. Numa primeira avaliação, verifica-se que este problema é altamente indeterminado. Para cada comprimento de onda, a equação

Transmissão teórica = Transmissão medida (1)

tem três incógnitas  $d$ ,  $r(\lambda)$ ,  $k(\lambda)$  e só  $d$  repete-se para todos os valores de  $\lambda$ . A idéia principal proposta por I.

CHAMBOULEYRON em 1998 e 1997 foi incorporar conhecimentos prévios das funções para diminuir o grau de liberdade de (1) ao ponto que só estimativas com significado físico sejam aceitas.

5 A idéia de supor fórmulas fechadas para  $r$  e  $k$  dependendo de uns poucos parâmetros tem sido reportada em por O.S.HEAVENS em 1991, R.SWANEPOEL em 1983 e 1984.

Os métodos originados nessas  
10 idéias são eficientes quando a curva de transmissão tem um padrão de interferência em regiões relativamente grandes do espectro onde  $k(\lambda)$  é quase nula. Em outros casos, a satisfação de (1) é muito grosseira ou as curvas  $r(\lambda)$  e  $k(\lambda)$  são fisicamente inaceitáveis.

15 I.CHAMBOULEYRON, J.M. MARTÍNEZ, A.C.MORETTI e M.MULATO, em 1997 e 1998, defendem que no lugar de impor formas funcionais para  $r(\lambda)$  e  $k(\lambda)$ , as restrições fenomenológicas que restringem a variabilidade dessas funções foram consideradas explicitamente de forma tal  
20 que o problema de estimação tomou a forma:

Minimizar  $\int_{\lambda} K [ \text{Transmissão teórica } (\lambda) - \text{Transmissão medida } (\lambda) ]^2$  sujeito a Restrições Físicas. (2)

Desta forma, funções  $r(\lambda)$  e  $k(\lambda)$  bem comportadas podem ser obtidas sem restrições fortes que poderiam danificar a qualidade do ajuste (1).  
25

A maior contribuição deste trabalho é estabelecer um método para resolver o problema de estimação onde (2) é substituído por um problema de

otimização sem restrições.

Resolveu-se este problema utilizando o Método do Gradiente Espectral (SGM) introduzido recentemente por M.Raydan em 1997. Este método baseia-se numa idéia muito efetiva para problemas de minimização irrestrita de grande porte e consiste em utilizar só direções de gradiente com comprimentos de passo que garantem uma convergência rápida. A redução de (2) a um problema de minimização sem restrições precisou do cálculo de derivadas complicadas que não teria sido possível sem a utilização de técnicas de diferenciação automática. Aqui utilizamos o modo reverso de diferenciação automática descrito por E.G.BIRGIN em 1998.

Na formulação irrestrita do problema de estimação, a transmissão  $T$  de um filme fino absorvente depositado num substrato transparente grosso (R.SWANPOEL 1983 E 1984) é dado por:

$$T = \frac{Ax}{B - Cx + Dx^2} \quad (3)$$

onde

$$A = 16s(r^2 + k^2) \quad (4)$$

$$B = [(r+1)^2 + k^2][(r+1)(r+s^2) + k^2], \quad (5)$$

$$C = [(r^2 - 1 + k^2)(r^2 - s^2 + k^2) - 2k^2(s^2 + 1)]2 \cos \varphi - k[2(r^2 - s^2 + k^2) + (s^2 + 1)(r^2 - 1 + k^2)]2 \sin \varphi, \quad (6)$$

$$D = [(r-1)^2 + k^2][(r-1)(r-s^2) + k^2], \quad (7)$$

$$\varphi = 4\pi d / \lambda, \quad x = \exp(-\alpha d), \quad \alpha = 4\pi k / \lambda. \quad (8)$$

Nas fórmulas (4)-(8) é utilizada a seguinte notação:

(a)  $\lambda$  é o comprimento de onda;

- (b)  $s=s(\lambda)$  é o índice de refração do substrato transparente (que supomos conhecido);
- (c)  $r=r(\lambda)$  é o índice de refração do filme;
- (d)  $k=k(\lambda)$  é o índice de atenuação do filme ( $\alpha$  é o coeficiente de absorção);
- (e)  $d$  é a espessura do filme.

Dado um conjunto de dados experimentais  $(\lambda_i, T^{meas}(\lambda_i), \lambda_{min} \leq \lambda_i < \lambda_{i+1} \leq \lambda_{max},$  para  $i=1, \dots, N,$  queremos estimar  $d, r(\lambda)$  e  $k(\lambda)$ . Este problema parece altamente indeterminado. De fato, para  $d$  conhecido e um  $\lambda$  dado, a seguinte equação deve ser satisfeita:

$$T(\lambda, s(\lambda), d, r(\lambda), k(\lambda)) = T^{meas}(\lambda). \quad (9)$$

Esta equação tem duas incógnitas  $r(\lambda)$  e  $k(\lambda)$  e, portanto, em geral, o seu conjunto de soluções é uma curva no espaço bidimensional  $(r(\lambda), k(\lambda))$ . Portanto, o conjunto de funções  $(r, k)$  que satisfazem (9) para um dado  $d$  é infinito e, informalmente, é representado por uma variedade não-linear de dimensão  $N$  em  $R^{2N}$ .

Porém, restrições físicas reduzem drasticamente o conjunto viável das incógnitas  $r(\lambda)$  e  $k(\lambda)$ . Por exemplo, na vizinhança do eixo fundamental de absorção (dispersão normal), essas restrições físicas são:

PC1:  $r(\lambda) \geq 1, k(\lambda) \geq 0$  para todo  $\lambda \in [\lambda_{min}, \lambda_{max}]$  ;

PC2:  $r(\lambda)$  e  $k(\lambda)$  são funções decrescentes de  $\lambda$ ;

PC3:  $r(\lambda)$  é convexa;

PC4: existe  $\lambda_{inf1} \in [\lambda_{min}, \lambda_{max}]$  tal que  $k(\lambda)$  é convexa se  $\lambda \geq \lambda_{inf1}$  e côncava se  $\lambda < \lambda_{inf1}$ .

Observe-se que PC1 é satis-

feita supondo PC2 válida,  $r(\lambda_{max}) \geq 1$  e  $k(\lambda_{max}) \geq 0$ . As restrições PC2, PC3 e PC4 podem ser escritas, respectivamente, como

$$n'(\lambda) \leq 0 \text{ e } k'(\lambda) \leq 0 \text{ para todo } \lambda \in [\lambda_{min}, \lambda_{max}]; \quad (10)$$

$$5 \quad n''(\lambda) \geq 0 \text{ para todo } \lambda \in [\lambda_{min}, \lambda_{max}]; \quad (11)$$

$$k''(\lambda) \leq 0 \text{ para todo } \lambda \in [\lambda_{min}, \lambda_{inf}]; \quad (12)$$

$$k''(\lambda) \geq 0 \text{ para todo } \lambda \in [\lambda_{inf}, \lambda_{max}] \quad (13)$$

Claramente, as restrições

$$n''(\lambda) \geq 0 \text{ para todo } \lambda \in [\lambda_{min}, \lambda_{max}] \text{ e } n'(\lambda_{max}) \leq 0$$

10 implicam

$$n'(\lambda) \leq 0 \text{ para todo } \lambda \in [\lambda_{min}, \lambda_{max}]$$

Mais ainda,

$$k''(\lambda) \geq 0 \text{ para todo } \lambda \in [\lambda_{inf}, \lambda_{max}] \text{ e } k'(\lambda_{max}) \leq 0$$

implicam

$$15 \quad k'(\lambda) \leq 0 \text{ para todo } \lambda \in [\lambda_{inf}, \lambda_{max}]$$

Finalmente,

$$k''(\lambda) \leq 0 \text{ para todo } \lambda \in [\lambda_{min}, \lambda_{inf}] \text{ e } k'(\lambda_{min}) \leq 0$$

implicam

$$k'(\lambda) \leq 0 \text{ para todo } \lambda \in [\lambda_{min}, \lambda_{inf}]$$

20 Portanto, PC2 pode ser substituída por

$$n'(\lambda_{max}) \leq 0, k'(\lambda_{max}) \leq 0, k'(\lambda_{min}) \leq 0. \quad (14)$$

Resumindo, as restrições PC1-PC4 serão satisfeitas se, e somente se,

$$r(\lambda_{max}) \geq 1, k(\lambda_{max}) \geq 0, \quad (15)$$

$$25 \quad n'(\lambda_{max}) \leq 0, k'(\lambda_{max}) \leq 0, \quad (16)$$

$$n''(\lambda) \geq 0 \text{ para todo } \lambda \in [\lambda_{min}, \lambda_{max}], \quad (17)$$

$$k''(\lambda) \geq 0 \text{ para todo } \lambda \in [\lambda_{inf}, \lambda_{max}], \quad (18)$$

$$k''(\lambda) \leq 0 \text{ para todo } \lambda \in [\lambda_{min}, \lambda_{inf}] \quad (19)$$

$$k'(\lambda_{min}) \leq 0 \quad (20)$$

Logo, a solução de quadrados mínimos contínuos do problema de estimação é a solução  $(d, r(\lambda), k(\lambda))$  de

$$\text{Minimizar } \int_{\lambda_{min}}^{\lambda_{max}} |T(\lambda, s(\lambda), d, r(\lambda), k(\lambda)) - T^{meas}(\lambda)|^2 d\lambda \quad (21)$$

5 sujeito às restrições (15)-(20).

O objetivo desta patente é eliminar as restrições do problema, tanto quanto seja possível, por meio de mudança de variáveis. Informalmente, será escrita a função objetivo (21) dependendo das deriva-

10 das segundas de  $r(\lambda)$  e  $k(\lambda)$  e os valores das funções e suas derivadas primeiras em  $\lambda_{max}$ . Além disso, a positividade será garantida expressando as variáveis como quadrados de variáveis auxiliares. De fato, escreveu-se

$$r(\lambda_{max}) = 1 + u^2, \quad k(\lambda_{max}) = v^2 \quad (22)$$

$$15 \quad n'(\lambda_{max}) = -u_1^2, \quad k'(\lambda_{max}) = -v_1^2 \quad (23)$$

$$n''(\lambda) = w(\lambda)^2 \quad \text{para todo } \lambda \in [\lambda_{min}, \lambda_{max}], \quad (24)$$

$$k''(\lambda) = z(\lambda)^2 \quad \text{para todo } \lambda \in [\lambda_{inf}, \lambda_{max}] \quad (25)$$

$$k''(\lambda) = -z(\lambda)^2 \quad \text{para todo } \lambda \in [\lambda_{min}, \lambda_{inf}] \quad (26)$$

Neste ponto, para evitar uma

20 enfadonha formulação contínua do problema, considera-se a situação real, na qual os dados são representados por um conjunto de  $N$  pontos igualmente espaçados no intervalo  $[\lambda_{min}, \lambda_{max}]$ . Portanto, definiu-se

$$h = (\lambda_{max} - \lambda_{min}) / (N - 1).$$

$$\lambda_i = \lambda_{min} + (i - 1)h, \quad i = 1, \dots, N$$

A transmissão medida em  $\lambda_i$ ,

25 será chamada  $T_i^{meas}$ . Será usada a notação  $r_i, k_i, w_i, z_i$  para os estimadores por diferenças finitas de  $r(\lambda_i), k(\lambda_i), w(\lambda_i)$  e



$z(\lambda_i)$ :

$$r_i \approx r(\lambda_i), \quad k_i \approx k(\lambda_i),$$

$$w_i \approx w(\lambda_{i+1}), \quad z_i \approx z(\lambda_{i+1}),$$

para  $i=1, \dots, N$ . A discretização das relações diferenciais

(22-26) leva a:

$$r_N = 1 + u^2, u_N = v^2, \quad (27)$$

$$r_{N-1} = r_N + u_1^2 h, \quad k_{N-1} = k_N + v_1^2 h, \quad (28)$$

$$r_i = w_1^2 h^2 + 2n_{i+1} - r_{i+2}, \quad i = 1, \dots, N-2 \quad (29)$$

$$k_i = z_1^2 h^2 + 2k_{i+2} - k_{i+2}, \quad \text{se } \lambda_{i+1} \geq \lambda_{\text{inf}}, \quad (30)$$

$$k_i = -z_1^2 h^2 + 2k_{i+2} - k_{i+2}, \quad \text{se } \lambda_{i+1} < \lambda_{\text{inf}}, \quad (31)$$

Finalmente a função objetivo

(21) é aproximada por uma soma de quadrados, levando ao

5 problema de otimização

$$\text{Minimizar } \sum_{i=1}^N [T(\lambda_i, s(\lambda_i), d, r_i, k_i) - T_i^{\text{meas}}]^2 \quad (32)$$

sujeito a

$$k_1 \geq k_2 \quad (33)$$

Como  $r_i$  e  $k_i$  dependem de

10  $u, u_i, v, v_i, w, z$  e  $\lambda_{\text{inf}}$  por (27-31), problema (32) toma a forma

Minimizar  $f(d, \lambda_{\text{inf}}, u, u_1, v, v_1, w_1, \dots, w_{N-2}, z_1, \dots, z_{N-2})$  sujeito a (33).

Como espera-se que a restrição (33) não seja ativa na solução de (34-33), será considerado o problema irrestrito (34). As variáveis presentes em (34) têm natureza diferente. A espessura  $d$  é uma variável dimensional (medida em nanômetros nos problemas reais) que pode ser determinada utilizando as observações  $T^{\text{meas}}(\lambda_i)$  para  $\lambda_i \geq \lambda_{\text{bound}}$ , onde  $\lambda_{\text{bound}}$ , um limitante superior de  $\lambda_{\text{inf}}$ , reflete nosso conhecimento prévio do problema. Por essa razão, o primeiro passo no processo de estimação será estimar

20

$d$  com os dados que correspondem a  $\lambda_i \geq \lambda_{bound}$ . Para atingir este objetivo resolveu-se o problema

$$\text{Minimizar } \bar{f}(u, u_1, v, v_1, w, z) \equiv \sum_{\lambda_i \geq \lambda_{bound}} [T(\lambda_i, s(\lambda_i), d, r_i, k_i) - T_i^{meas}]^2 \quad (35)$$

para diferentes valores de  $d$  e tomou-se como espessura estimada aquela que corresponda ao menor valor de função. Neste caso, a restrição (33) é irrelevante porque é automaticamente satisfeita pela convexidade de  $k$  e o fato de que a derivada primeira de  $k$  em  $\lambda_{max}$  é não-positiva. Daqui em diante será considerado que  $d$  está fixa como resultado do procedimento anterior.

O segundo passo consiste em determinar  $\lambda_{inf}$ , junto com  $u, u_1, v, v_1, w, z$ . Com este propósito, observe-se que, dados  $d$  e  $\lambda_{inf}$  o problema

$$\text{Minimizar } \sum_{i=1}^N [T(\lambda_i, s(\lambda_i), d, r_i, k_i) - T_i^{meas}]^2 \quad (36)$$

é (desprezando (33)) um problema de minimização irrestrita cujas variáveis são  $u, u_1, v, v_1, w, z$ , (2N variáveis). Resolveu-se esse problema para vários valores de  $\lambda_{inf}$  e tomou-se como estimativas de  $r$  e  $k$  a combinação de variáveis correspondente ao menor valor da função objetivo. Para minimizar esta função e resolver (35) para diferentes espessuras, utilizou-se o algoritmo de minimização irrestrita descrito a seguir.

Como visto acima, os problemas de minimização irrestrita (35) e (36) têm a forma

$$\text{Minimizar } f(u, u_1, v, v_1, w_1, \dots, w_{N-2}, z_1, \dots, z_{N-2}) \cdot \quad (37)$$

Para simplificar a notação, nesta seção será escrito  $x = (u, u_1, v, v_1, w_1, \dots, w_{N-2}, z_1, \dots, z_{N-2})$ .

As derivadas parciais de  $f$

são usualmente necessárias em algoritmos de otimização, porque fornecem a informação de primeira ordem da função objetivo que permite seguir trajetórias de descida. Neste caso, as derivadas são difíceis de calcular e por esta razão utilizou-se o modo reverso de diferenciação automática para o cálculo das derivadas.

Em princípio, qualquer algoritmo de otimização irrestrita pode ser utilizado para resolver (37).

Como o problema tem, potencialmente, um número grande de variáveis, a escolha deve se restringir aos métodos que sejam capazes de encarar essa situação. Um trabalho recente de M.RAYDAN(1997) nos levou a escolher o Método do Gradiente Espectral (SGM), uma implementação do método de Barzilai and Borwein para quadráticas introduzido no trabalho de M.RAYDAN (1997). De fato, Raydan mostrou, utilizando um conhecido conjunto de problemas teste clássicos, que SGM superou métodos de gradientes conjugados em problemas de otimização irrestrita de grande porte. O método do gradiente espectral de Raydan é fácil de implementar, um fato que contribuiu em nossa decisão, porque permite-nos ficar independentes de, por exemplo, softwares fechados. A descrição do SGM é essencialmente, a mesma apresentada por M.RAYDAN com uma pequena diferença na escolha do passo  $\alpha_k$  quando  $b_k \leq 0$ .

Denotamos  $g(x) = \nabla f(x)$ . O algoritmo começa com  $x_0 \in \mathbb{R}^n$  e utiliza um inteiro  $M \geq 0$ , um parâmetro pequeno  $\alpha_{min}$ , um parâmetro grande  $\alpha_{max} > \alpha_{min}$  um parâ-



substratos de vidro ou silício cristalino. Nas simulações, o índice de refração do vidro  $s_{glass}(\lambda)$  é dado por:

$$s_{glass}(\lambda) = \sqrt{1 + 1 / (0.76194 - 740 / \lambda^2)},$$

e o índice de refração do substrato de silício  $s_{Si}(\lambda)$  é dado por:  $s_{Si}(\lambda) = 3.71382 - 8.6912310^{-5} \lambda - 2.4712510^{-8} \lambda^2 + 1.0467710^{-11} \lambda^3$

5

Em todas as simulações supo-

mos que o comprimento de onda e a espessura são medidos em nanômetros. A transmissão  $T^{meas}(\lambda)$  para cada filme foi gerada no intervalo  $\lambda \in [\lambda_{min}, \lambda_{max}]$  utilizando espessura  $d_{true}$ , índice de refração  $r_{true}(\lambda)$  e coeficiente de absorção  $\alpha_{true}(\lambda)$  co-

10

nhecidos. Para considerar situações realísticas, incluindo a falta de precisão experimental, considerou-se cálculos alternativos de  $T^{meas}(\lambda)$ , onde a transmissão real (gerada) foi arredondada para 4, 3 e 2 casas decimais. Também foram realizados experimentos numéricos utilizando diferentes nú-

15

meros de pontos de transmissão: 100, 50 e 25. A descrição dos filmes gerados e os correspondentes resultados numéricos são apresentados abaixo:

Filme A: Este filme simula um filme fino de germânio amorfo com  $d_{true} = 118\text{nm}$  depositado num substrato de vidro

20

$\lambda_{min} = 600\text{nm}$  e  $\lambda_{max} = 2000\text{nm}$ .

Filme B: Este filme é idêntico ao Filme A com  $d_{true} = 782\text{nm}$ .

$\lambda_{min} = 1000\text{nm}$  e  $\lambda_{max} = 2000\text{nm}$ .

Filme C: Este filme simula um filme fino de germânio amorfo com  $d_{true} = 147\text{nm}$  depositado em um substrato cristalino de si-

25

lício.  $\lambda_{min} = 1250\text{nm}$  e  $\lambda_{max} = 2500\text{nm}$ .

Filme D: Este filme é idêntico ao Filme C com  $d_{true} = 640\text{nm}$ .

$\lambda_{min} = 640\text{nm}$  e  $\lambda_{max} = 640\text{nm}$ .

Filme E: Este filme simula um filme fino de silício amorfo hidrogenado com  $d_{true} = 624\text{nm}$  depositado em vidro.  $\lambda_{min} = 600\text{nm}$  e  $\lambda_{max} = 1600\text{nm}$ .

Para os nossos cálculos, necessitamos estimativas iniciais de  $k(\lambda)$  e  $r(\lambda)$ . Como estimativa inicial de  $k(\lambda)$  utilizou-se uma função linear por partes cujos valores são 0.1 em  $\lambda_{min}$ , 0.01 em  $+ 0.2(\lambda_{max} - \lambda_{min})$  e  $10^{-10}$  em  $\lambda_{max}$ . A estimativa inicial de  $r(\lambda)$  foi uma função linear cujos valores extremos variam entre 5 e 3 com passo 1 (esses valores foram escolhidos pelo nosso conhecimento prévio dos materiais simulados). Como excluimos as funções constantes que mostraram em testes preliminares levar o método a mínimos locais, temos três possibilidades para a estimativa inicial de  $r(\lambda)$ : as funções lineares decrescentes definidas pelos pares de pontos  $[(\lambda_{min}, 4); (\lambda_{max}, 3)]$ ,  $[(\lambda_{min}, 5); (\lambda_{max}, 3)]$  e  $[(\lambda_{min}, 5); (\lambda_{max}, 4)]$ .

O esquema geral para obter os parâmetros ótimos destes filmes é como se segue. Primeiro, dividimos o espectro em duas partes:  $[\lambda_{min}, \lambda_{bound}]$  e  $[\lambda_{bound}, \lambda_{max}]$ , onde  $\lambda_{bound}$  é um limitante conhecido de  $\lambda_{inf}$ . Em todos os casos utilizamos  $\lambda_{bound} = (\lambda_{min} + \lambda_{max})/2$ . Para estimar a espessura utilizamos os dados com abcissa em  $[\lambda_{bound}, \lambda_{max}]$ . O procedimento consiste em rodar o Algoritmo 3.1 para diferentes valores de  $d$ , entre  $d_{min} = \frac{1}{2}d_{kick}$  e  $d_{max} = \frac{3}{2}d_{kick}$  com passo 10 ( $d_{min}, d_{min} + 10, d_{min} + 20, \dots$ ) onde  $d_{kick}$  pode ser uma estimativa inicial grosseira de  $d$ . Desta forma, obtemos  $d_{trial}$ , o valor da espessura que fornece o menor erro quadrático. Depois, repetimos o procedimento com  $d_{min} = d_{trial} - 10$ ,  $d_{max} = d_{trial} + 10$  e passo

1 para obter, finalmente, a espessura estimada  $d_{best}$ .

Para estimar o ponto de inflexão procedemos em forma análoga, utilizando o espectro completo, a espessura fixa em  $d_{best}$  e tentando diferentes pontos de inflexão (obviamente entre  $\lambda_{min}, \lambda_{bound}$ ). Tomamos como estimativa de  $\lambda_{bound}$  o valor que nos fornece o menor erro quadrático. Em todas as simulações, permitimos só 3000 iterações do Algoritmo 3.1. O passo final do método consiste em, fixando  $d_{best}$  e  $\lambda_{inf}$ , rodar o Algoritmo 3.1 mais uma vez permitindo 30000 iterações.

Todos os experimentos foram simulados numa SPARCstation Sun Ultra 1, com um processador UltraSPARC de 64 bits, clock de 167 MHz e 128 Mbytes de memória RAM. Utilizamos a linguagem C/C++ com o compilador g++ (GNU project C and C++ compiler v2.7) e a opção de otimização do compilador -O4. Apesar das muitas execuções do algoritmo de minimização irrestrita que são necessárias para resolver o problema, o tempo total de CPU utilizado para o processo completo nunca excedeu os 10 minutos na plataforma acima mencionada.

A Tabela 1 corresponde só ao filme A. Ela mostra a precisão obtida em  $r(\lambda)$  e  $\alpha(\lambda)$  utilizando 25, 50 e 100 pontos de transmissão medida, e arredondando os dados de transmissão para, 2, 3 e 4 casas decimais e, finalmente, sem arredondar. Os erros reportados são os máximos valores de  $|r(\lambda) - r_{true}(\lambda)|$  e  $|\alpha(\lambda) - \alpha_{true}(\lambda)|$

		25		50		100	
2	$E_{ph-min}$	$r$ 0.1136	$\alpha$ $1.9021 \times 10^{-4}$	$r$ 0.1036	$\alpha$ $4.3521 \times 10^{-4}$	$r$ 0.1139	$\alpha$ $4.3108 \times 10^{-4}$
	$E_{ph-max}$	0.8742	$4.4408 \times 10^{-3}$	1.4727	$4.9223 \times 10^{-3}$	0.4761	$1.9139 \times 10^{-3}$

Continuação da tabela 1.

3	$E_{ph-min}$	0.0442	$2.7240 \times 10^{-4}$	0.1317	$6.5932 \times 10^{-4}$	0.2249	$1.1136 \times 10^{-3}$
	$E_{ph-max}$	1.3505	$4.4571 \times 10^{-3}$	0.2298	$1.4237 \times 10^{-3}$	0.1278	$1.0697 \times 10^{-3}$
4	$E_{ph-min}$	0.0552	$3.3624 \times 10^{-4}$	0.1093	$4.0392 \times 10^{-4}$	0.1103	$4.3725 \times 10^{-4}$
	$E_{ph-max}$	1.3631	$4.5240 \times 10^{-3}$	0.1418	$1.0016 \times 10^{-3}$	0.1149	$3.8185 \times 10^{-4}$
todas	$E_{ph-min}$	0.0358	$3.9590 \times 10^{-4}$	0.0749	$3.0955 \times 10^{-4}$	0.0184	$1.6248 \times 10^{-4}$
	$E_{ph-max}$	1.4558	$4.5031 \times 10^{-3}$	0.2367	$7.5514 \times 10^{-4}$	0.0117	$1.9621 \times 10^{-4}$

Tabela 1: Filme A: Erros quadráticos nos índices de refração e coeficientes de absorção estimados variando a precisão e o número de pontos de transmissão medida utilizados.

5 Abaixo é representada a tabela 2: filme A

	25	50	100
2	121	121	121
3	119	122	124
4	119	121	121
todos	118	119	119

Tabela 2: Filme A: espessura estimada variando a precisão da transmissão e o número de pontos de transmissão medidos.

10 Para as regiões espectrais de alta e baixa energia do fóton, respectivamente. A Tabela 2 corresponde ao mesmo filme. Ela mostra a espessura estimada com 25, 50 e 100 pontos de dados e para diferentes números de casas decimais em  $T^{meas}(\lambda)$ . A Tabela 3 mostra, para todos  
15 os filmes, as espessuras estimadas e os erros quadráticos obtidos no processo de minimização.

A seguir, o objeto desta patente de invenção será pormenorizadamente descrito com referência aos desenhos abaixo relacionados, nos quais:

20 a figura 1 ilustra um conjunto de gráficos re-



representativos dos valores "verdadeiros" e estimados da transmissão, o índice de refração e o coeficiente de absorção de um filme muito fino gerado numericamente com espessura  $d = 118\text{nm}$  que simula uma capa de a-Ge depositada sobre vidro, cabendo ressaltar a boa qualidade das constantes óticas e a transmissão encontradas;

5

10

a figura 2 ilustra por sua vez, três gráficos que são representativos dos valores "verdadeiros" e estimados da transmissão, o índice de refração e o coeficiente de absorção de um filme gerado numericamente com espessura  $d = 782\text{nm}$  simulando uma capa de a-Ge depositada sobre vidro, cabendo também notar a boa qualidade das constantes óticas e a transmissão encontradas;

15

20

a figura 3 ilustra também três gráficos que são representativos dos valores "verdadeiros" e estimados da transmissão, o índice de refração e o coeficiente de absorção de um filme muito fino gerado numericamente com espessura  $d = 147\text{nm}$  que simula uma capa de a-Ge depositada num substrato de

25

silício cristalino, cabendo também neste caso ressaltar a qualidade das constantes óticas e a transmissão encontradas apesar da suavidade e falta de interferências da transmissão verdadeira;

5

a figura 4 ilustra um conjunto de gráficos que representam: valores "verdadeiros" e estimados da transmissão, o índice de refração e o coeficiente de absorção de um filme fino gerado numericamente com espessura  $d = 640\text{nm}$  simulando uma capa de a-Ge depositada num substrato de silício cristalino, notando-se também a qualidade das constantes óticas e a transmissão encontradas, sendo que, a recuperação do verdadeiro índice de refração mostra alguns defeitos na região de altas energias de fótons;

10

15

20

a figura 5 ilustra três gráficos que representam valores "verdadeiros" e estimados da transmissão, o índice de refração e o coeficiente de absorção de um filme fino gerado numericamente com espessura  $d = 624\text{nm}$  simulando uma capa de a-Si- depositada sobre vidro, sendo que, a coincidência das constantes

25

ópticas e da transmissão pode ser classificada como muito boa;

5 a figura 6 ilustra um conjunto de gráficos, representativos do erro quadrático do processo de minimização em função das espessuras para o filme A e B; Do lado esquerdo o passo é 10nm enquanto que do lado direito o passo refinado é 1nm, notando-se os minimizadores locais;

10 a figura 7 ilustra um conjunto de gráficos que representam o erro quadrático do processo de minimização em função das espessuras para o filme C e D, sendo que, do lado esquerdo o passo é 10nm enquanto do lado direito o passo refinado é 1nm, cabendo também neste caso a menção aos minimizadores locais; e

20 a figura 8 por sua vez, representa dois gráficos que tratam do erro quadrático do processo de minimização em função das espessuras para o filme E, sendo que, do lado esquerdo o passo é de 10nm enquanto que do lado direito o passo refinado é 1nm, cabendo também neste caso citar os minimizadores locais.

25

As figuras 1-5 são auto-expli

cáveis. As linhas contínuas representam as transmissões verdadeiras, os índices de refração verdadeiros e os coeficientes de absorção verdadeiros para os cinco filmes considerados. Os círculos abertos representam as melhores estimativas (utilizando todas as casas decimais). Notar que as funções  $r(\lambda)$  e  $\alpha(\lambda)$  estão representadas em função da energia do fóton ( $1240/\lambda$ ). Finalmente, as Figuras 6, 7 e 8 mostram como funciona o processo de estimar a espessura para cada filme.

10 A análise dos resultados numéricos permite-nos esboçar as seguintes conclusões: a) o procedimento proposto é altamente confiável para estimar a espessura verdadeira em todos os filmes quando 4 (ou todos) dígitos dos dados de transmissão são utilizados. O método  
15 fornece uma recuperação muito boa da transmissão verdadeira nos casos onde métodos não aproximados são úteis, *i.e.*, filmes muito finos ou camadas absorventes; b) apreciação dos dados da transmissão medida tem efeito na precisão das estimativas de  $r(\lambda)$  mas é quase irrelevante para a estimativa  
20 de  $\alpha(\lambda)$ . Em situações reais, utilizando um espectrofotômetro moderno, as transmissões podem ser obtidas com 3 ou 4 casas decimais. Neste caso, e utilizando 100 pontos medidos de transmissão, o erro na estimativa de  $r(\lambda)$  é próximo de 0.11 (para o Filme A). As diferenças entre os resultados  
25 obtidos com 100 e 50 pontos não são significativas; c) na maioria dos casos, o erro quadrático em função da espessura estimada (Figuras 6, 7 e 8) é uma função com vários minimizadores locais não-globais. Portanto, a estratégia de sepa-

rar a variável  $d$  das outras variáveis do problema de otimização parece ser correta, dado que tende a evitar convergências espúrias a estes minimizadores locais; e d) a comparação dos presentes resultados com os obtidos previamente, utilizando o algoritmo descrito por I.CHAMBOULEYRON, J.M. MARTÍNEZ, A.C.MORETTI e M.MULATO (1997 e 1998), parece confirmar que o novo método é, no mínimo, tão eficiente quanto o enfoque prévio de minimização com restrições. Além disso, o software resultante é mais portátil e fácil de manipular.

Abaixo é representada a tabela 3, que trata das espessuras verdadeiras e estimadas e erros quadráticos.

Filme	Espessura verdadeira	Espessura estimada	Erro quadrático
A	118	119	$6.9296 \times 10^{-7}$
B	782	782	$2.2031 \times 10^{-7}$
C	147	152	$6.2249 \times 10^{-6}$
D	640	639	$1.3653 \times 10^{-6}$
E	624	624	$2.1210 \times 10^{-7}$

Tabela 3: Espessuras verdadeiras e estimadas e erros quadráticos.

## REIVINDICAÇÕES

1. "METODOLOGIA PARA ESTIMAÇÃO DAS CONSTANTES ÓPTICAS E DA ESPESSURA DE UM FILME FINO UTILIZANDO MINIMIZAÇÃO IRRESTRITA", do tipo que pode ser  
5 utilizada para determinar a estimação das constantes ópticas e espessura de filmes finos em geral, caracterizada pelo fato de que a formulação irrestrita do problema de estimação, onde a transmissão  $T$  de um filme fino absorvente depositado num substrato transparente grosso é dado por:

$$T = \frac{Ax}{B - Cx + Dx^2}, \quad (3)$$

$$\text{onde: } A = 16s(r^2 + k^2) \quad (4)$$

$$B = [(r+1)^2 + k^2][(r+1)(r+s^2) + k^2], \quad (5)$$

$$C = [(r^2 - 1 + k^2)(r^2 - s^2 + k^2) - 2k^2(s^2 + 1)]2 \cos \varphi - k[2(r^2 - s^2 + k^2) + (s^2 + 1)(r^2 - 1 + k^2)]2 \sin \varphi, \quad (6)$$

$$D = [(r-1)^2 + k^2][(r-1)(r-s^2) + k^2], \quad (7)$$

$$\varphi = 4\pi d / \lambda, \quad x = \exp(-\alpha d), \quad \alpha = 4\pi k / \lambda. \quad (8)$$

10 sendo que nas fórmulas (4)-(8) é utilizada a seguinte notação:

- (a)  $\lambda$  é o comprimento de onda;
- (b)  $s = s(\lambda)$  é o índice de refração do substrato transparente (que supomos conhecido);
- 15 (c)  $r = r(\lambda)$  é o índice de refração do filme;
- (d)  $k = k(\lambda)$  é o índice de atenuação do filme ( $\alpha$  é o coeficiente de absorção);
- (e)  $d$  é a espessura do filme.

2. "METODOLOGIA PARA ESTIMAÇÃO DAS CONSTANTES ÓPTICAS E DA ESPESSURA DE UM FILME FINO UTILIZANDO MINIMIZAÇÃO IRRESTRITA", caracterizada pelo fato  
20

de se utilizar de um algoritmo de minimização irrestrita, o qual compreende: Passo 1: Detectar se o ponto atual é estacionário; Se  $\|g(x_k)\|=0$ , parar declarando que  $x_k$  é estacionário;

5 Passo 2: Busca linear;

Passo 2.1: Fazer  $\lambda \leftarrow \alpha_k$ ;

Passo 2.2: Fazer  $x_+ = x_k - \lambda g(x_k)$ ;

Passo 2.3: Se  $f(x_+) \leq \max_{0 \leq j \leq \min\{k, M-1\}} f(x_{k-j}) + \gamma(x_+ - x_k, g(x_k))$ , (38)

então definir  $x_{k+1} = x_+$ ,  $s_k = x_{k+1} - x_k$ ,  $y_k = g(x_{k+1}) - g(x_k)$ ;

10 Senão, definir  $\lambda_{new} \in [\sigma_1 \lambda, \sigma_2 \lambda]$ , (39)

Fazer  $\lambda \leftarrow \lambda_{new}$  e voltar ao Passo 2.2;

Passo 3: Calcular o comprimento de passo espectral;

Calcular  $b_k = (s_k, y_k)$

Se  $b_k \leq 0$ , fazer  $\alpha_{k+1} = \alpha_{max}$

15 senão, calcular  $\alpha_k = -\langle s_k, g(x_k) \rangle$  e

$\alpha_{k+1} = \min\{\alpha_{max}, \max\{\alpha_{min}, \alpha_k / b_k\}\}$

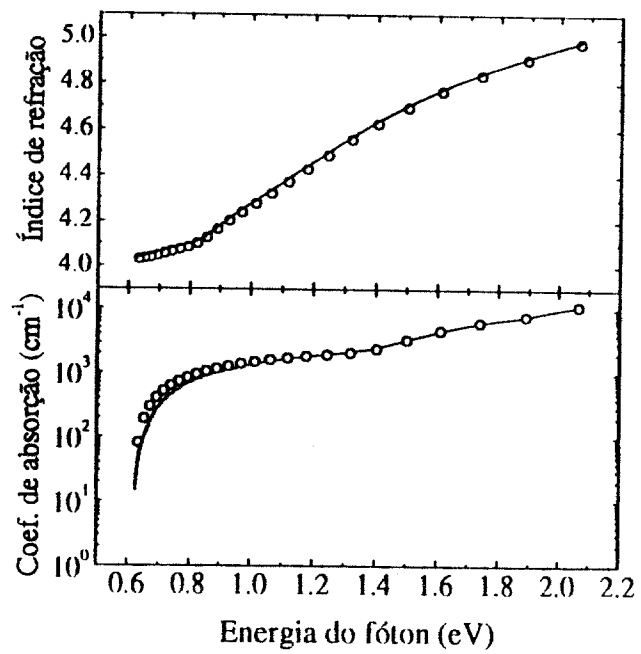
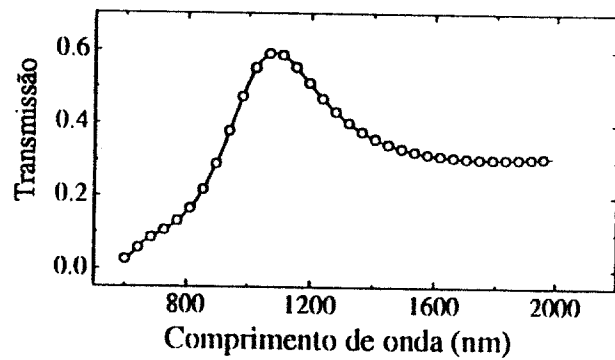


FIG. - 1



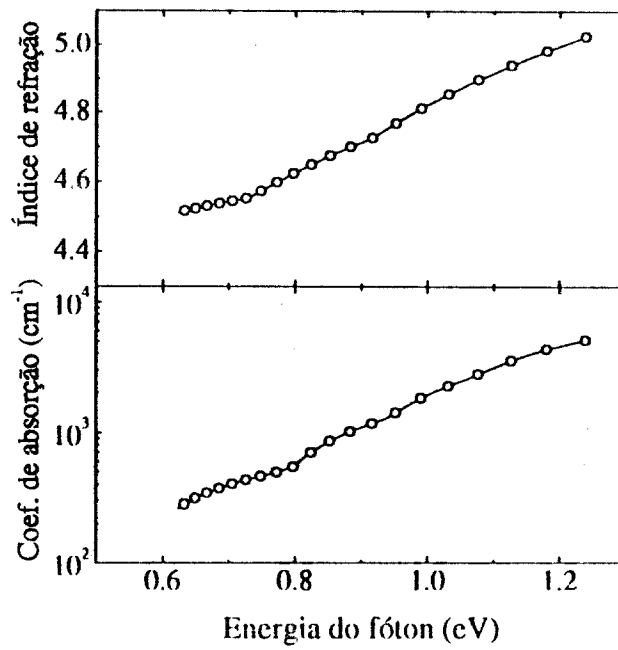
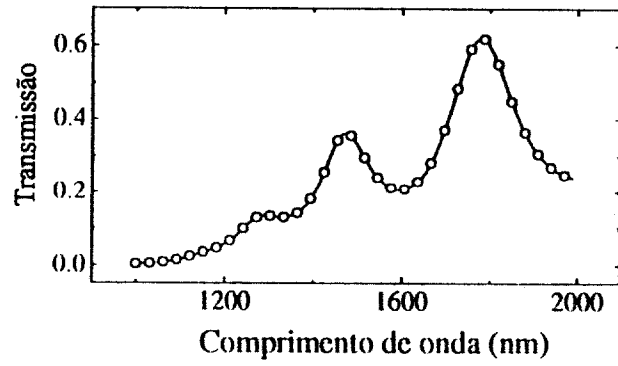


FIG. -2

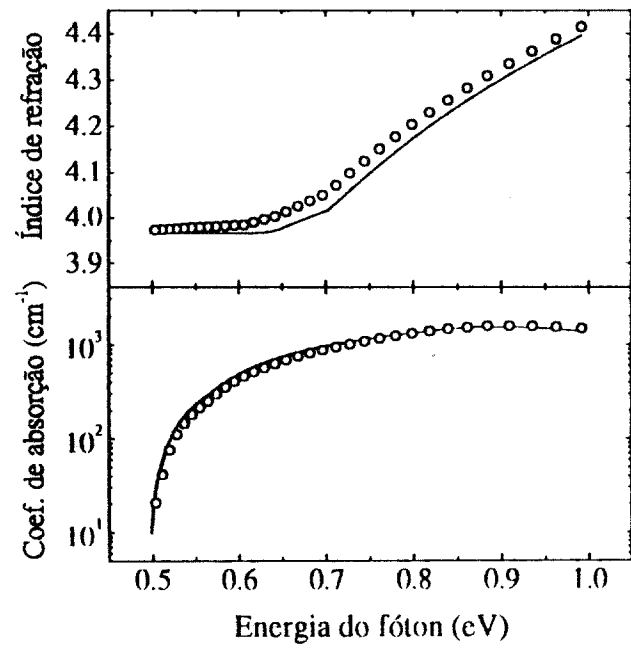
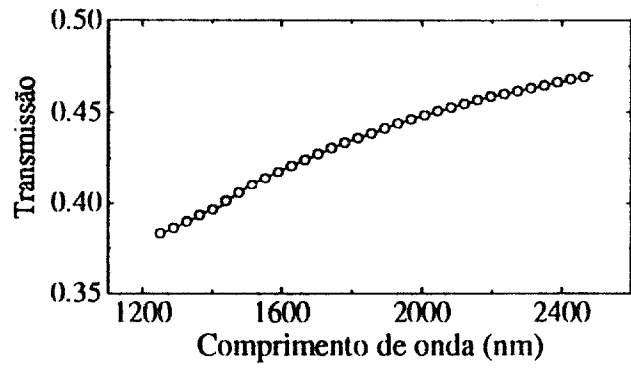


FIG. - 3

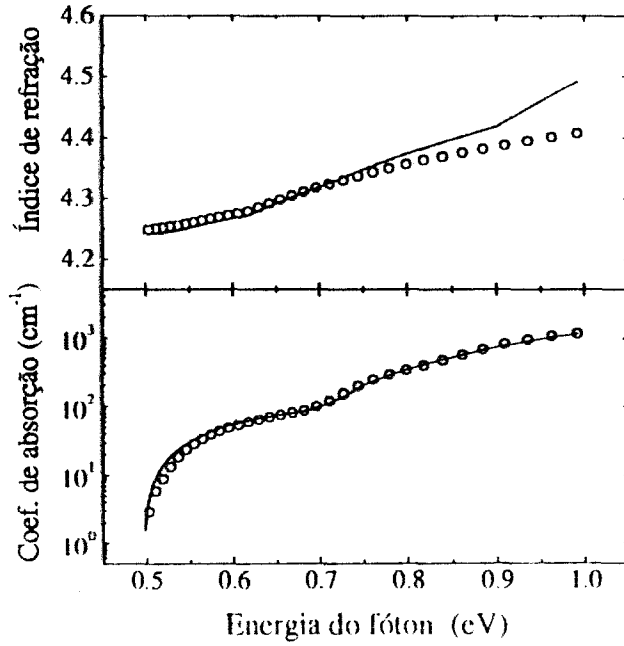
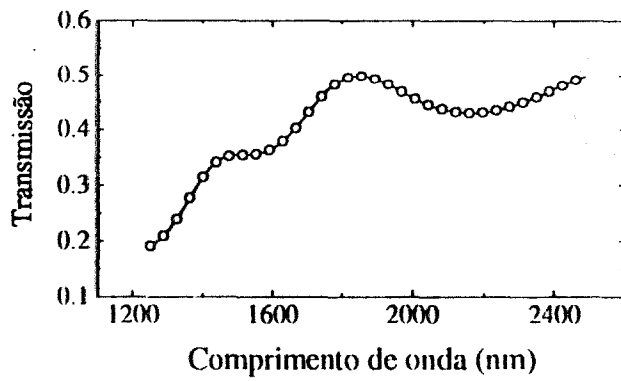


FIG.-4

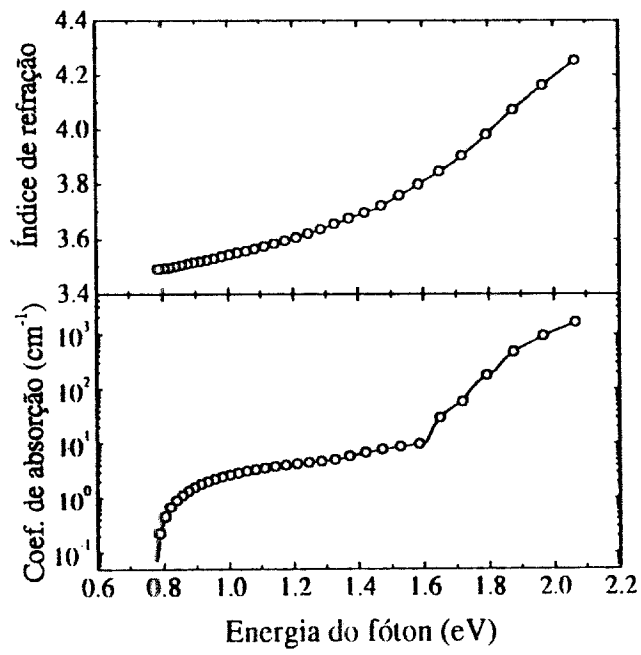
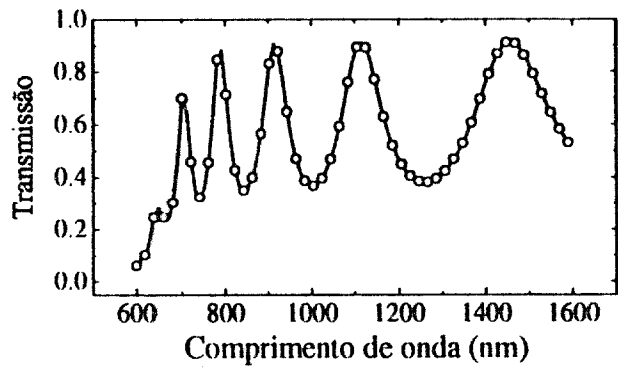


FIG-5

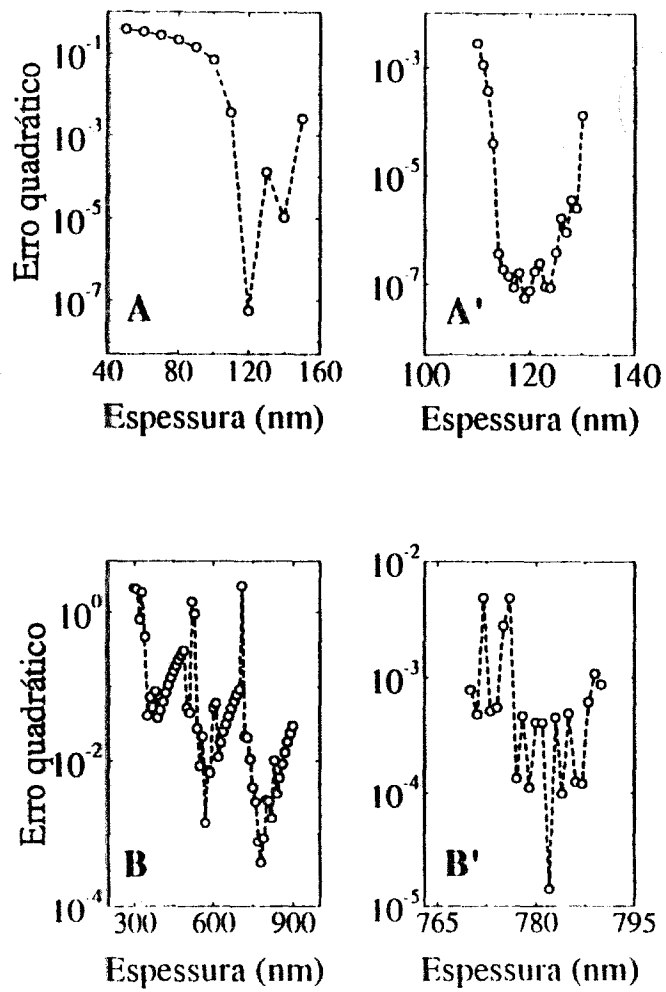


FIG-6

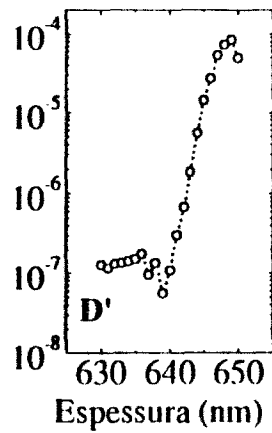
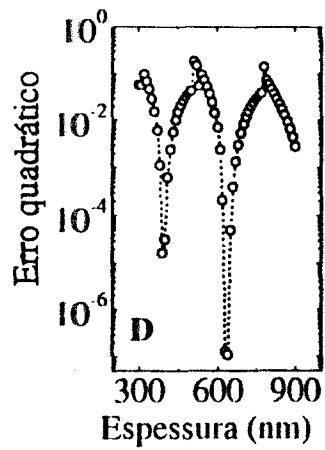
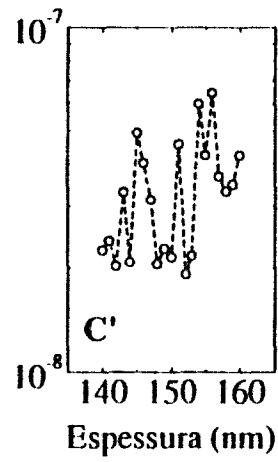
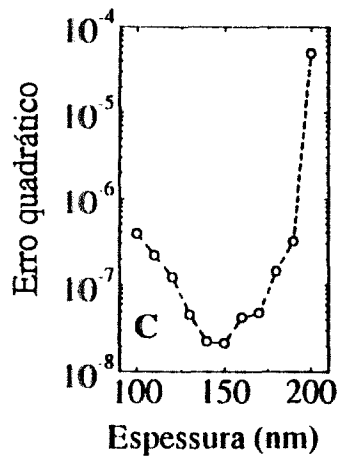


FIG-7

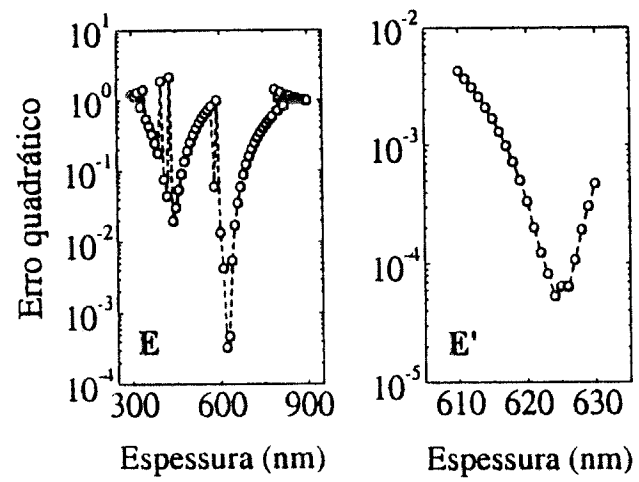


FIG-8

## RESUMO

"METODOLOGIA PARA ESTIMAÇÃO DAS  
CONSTANTES ÓPTICAS E DA ESPESSURA DE UM FILME FINO UTILI-  
ZANDO MINIMIZAÇÃO IRRESTRITA", dita metodologia destina-se  
5 a possibilitar a estimação das constantes ópticas e da es-  
pessura de um filme fino, baseada na minimização irrestri-  
ta.